

บทที่ 4

การวิเคราะห์ผล

ด้วยการวิจัยมุ่งที่จะศึกษาเปรียบเทียบความเหมาะสมของค่าความสูงออร์โทเมตริก ในบทนี้จะเป็นการเสนอผลที่ได้รับภายหลังจากเสร็จสิ้นการประมวลผล และการวิเคราะห์ผลเพื่อพิจารณาถึงความเหมาะสมในการนำไปใช้ ซึ่งได้แก่ การวิเคราะห์ผลของการเลือกใช้หมุดควบคุมทางดิ่งหลัก การวิเคราะห์ผลของการประยุกต์ใช้แบบจำลองความสูงยี่ออย การวิเคราะห์ความเหมาะสมของแบบจำลองความสูงยี่ออย และค่าความสูงออร์โทเมตริก รวมถึงการวิเคราะห์เพื่อหาผลกระทบของการเปลี่ยนแปลงความสูงยี่ออย ดังรายละเอียดต่อไปนี้

4.1 การวิเคราะห์ผลของการเลือกใช้หมุดควบคุมทางดิ่งหลัก

ในการเลือกหมุดควบคุมทางดิ่งหลัก หรือในที่นี้คือหมุดหลักฐานการระดับชั้นที่หนึ่ง สำหรับใช้ในการประมวลผลเพื่อปรับแก้โครงข่าย สามารถจำแนกการวิเคราะห์ออกได้ดังนี้

4.1.1 กรณีปราศจากการใช้หมุดควบคุมทางดิ่งหลัก

การปรับแก้โครงข่ายในขั้นต้น หรือการปรับแก้แบบอิสระ จะเป็นเพียงการปรับแก้โดยใช้ข้อมูลของเส้นฐานจากการรังวัดด้วยระบบดาวเทียมจีพีเอสเท่านั้น ดังนั้นจึงยังไม่พิจารณากำหนดค่าความสูงของหมุดควบคุมทางดิ่งหลัก ผลลัพธ์ของค่าความสูงที่ได้จากการประมวลผล คือค่าความสูงเหนือรูปทรงรี โดยอ้างอิงกับพื้นหลักฐานพิภพ WGS84 ดังตารางที่ 4.1 แสดงการเปรียบเทียบระหว่างค่าความสูงซึ่งได้จากการทำระดับ หรือค่าจริงที่ใช้ในการอ้างอิง และค่าความสูงซึ่งได้จากการประมวลผล จะพบว่า ผลต่างของค่าความสูง จะมีขนาดใหญ่มาก ด้วยค่าเฉลี่ยเท่ากับ -22.148 เมตร ค่าสูงสุดเท่ากับ -15.240 เมตร และค่าต่ำสุดเท่ากับ -25.729 เมตร ค่าผลต่างดังกล่าว อาจเรียกได้ว่าเป็นระยะห่างระหว่างพื้นผิวของรูปทรงรี กับพื้นผิวยี่ออย หรือความสูงยี่ออย นั่นเอง และเนื่องจากค่าผลต่างมีค่าเป็นลบทั้งหมด แสดงให้เห็นว่าพื้นผิวยี่ออย จะอยู่ต่ำกว่าพื้นผิวของรูปทรงรี

4.1.2 กรณีการใช้หมุดควบคุมทางดิ่งหลัก

ในการพิจารณาใช้หมุดควบคุมทางดิ่งหลัก สำหรับการประมวลผลเพื่อปรับแก้โครงข่ายนั้น จะสามารถกระทำโดยการกำหนดค่าความสูงที่ได้จากการทำระดับของหมุดควบคุม

ทางดิ่งหลัก ให้มีค่าคงที่ (Fixed vertical control) แบ่งการพิจารณาออกได้ดังนี้

4.1.2.1 การกำหนดให้มีหมุดควบคุมทางดิ่งหลักหนึ่งหมุด

การเลือกใช้หมุดควบคุมทางดิ่งหลัก เพื่อกำหนดค่าความสูงให้คงที่ สำหรับการปรับแก้โครงข่าย จะพิจารณาเลือกหมุด GPS3153 ซึ่งเป็นหมุดหลักฐานการระดับชั้นที่หนึ่งของกรมแผนที่ทหาร และมีตำแหน่งอยู่กลางโครงข่าย ผลลัพธ์จากการประมวลผล แสดงได้ดังตารางที่ 4.2 จะพบว่า ผลต่างของการเปรียบเทียบระหว่างค่าความสูงซึ่งได้จากการทำระดับ และค่าความสูงซึ่งได้จากการประมวลผล จะมีค่าลดลง ด้วยค่าเฉลี่ยเท่ากับ 1.632 เมตร ค่าสูงสุดเท่ากับ 8.448 เมตร และค่าต่ำสุดเท่ากับ -2.033 เมตร ค่าผลต่างดังกล่าว แสดงให้เห็นถึงการเปลี่ยนแปลงความสูง จะเกิดมากในแนวตะวันออกเฉียงใต้-ตะวันตกเฉียงเหนือ ดังนั้นจำนวนของหมุดควบคุมทางดิ่งหลักเพียงหนึ่งหมุด ยังไม่เพียงพอสำหรับการประมวลผล

4.1.2.2 การกำหนดให้มีหมุดควบคุมทางดิ่งหลักสี่หมุด

หมุดควบคุมทางดิ่งหลัก 4 หมุด ซึ่งจะนำมาใช้เพื่อกำหนดค่าความสูงให้คงที่ สำหรับการปรับแก้โครงข่าย ได้แก่ หมุดหลักฐาน GPS3052 GPS3076 GPS3128 และGPS3143 หมุดทั้งสี่เป็นหมุดหลักฐานการระดับชั้นที่หนึ่ง ซึ่งกระจายอยู่ ณ มุมโดยรอบของโครงข่าย ผลลัพธ์จากการประมวลผล แสดงได้ดังตารางที่ 4.3 จะพบว่าผลต่างของการเปรียบเทียบระหว่างค่าความสูงซึ่งได้จากการทำระดับ และค่าความสูงซึ่งได้จากการประมวลผล มีค่าเฉลี่ยเท่ากับ -0.378 เมตร ค่าสูงสุดเท่ากับ 2.905 เมตร ค่าต่ำสุดเท่ากับ -2.551 เมตร และมีค่าส่วนเบี่ยงเบนมาตรฐานเท่ากับ 1.725 เมตร แสดงให้เห็นถึงจำนวนของหมุดควบคุมทางดิ่งหลัก 4 หมุด มีผลทำให้พื้นผิวของรูปทรงรีเปลี่ยนไป และแนบสนิทกับพื้นผิวที่ย่อยมากขึ้น

4.1.2.3 การกำหนดให้มีหมุดควบคุมทางดิ่งหลักห้าหมุด

ภายหลังจากการปรับแก้โครงข่าย โดยการกำหนดค่าความสูงของหมุดควบคุมทางดิ่งหลัก 4 หมุดให้คงที่ ดังในข้อ 4.1.2.2 ในขั้นตอนนี้จะทำการเพิ่มหมุดควบคุมทางดิ่งหลักอีก 1 หมุด คือ หมุด GPS3153 ซึ่งอยู่ในบริเวณกลางโครงข่าย เพื่อใช้สำหรับการปรับแก้โครงข่ายอีกครั้งหนึ่ง ผลลัพธ์จากการประมวลผล เมื่อกำหนดให้มีหมุดควบคุมทางดิ่งหลัก 5 หมุด แสดงได้ดังตารางที่ 4.4 จะพบว่าผลต่างของการเปรียบเทียบระหว่างค่าความสูงซึ่งได้จากการทำระดับ และค่าความสูงซึ่งได้จากการประมวลผล จะมีค่าสูงขึ้น ด้วยค่าเฉลี่ยเท่ากับ -0.413 เมตร ค่าสูงสุดเท่ากับ 2.906 เมตร ค่าต่ำสุดเท่ากับ -2.555 เมตร และมีค่าส่วนเบี่ยงเบนมาตรฐานเท่ากับ 1.789 เมตร แสดงให้เห็นถึงการเพิ่มจำนวนของหมุดควบคุมทางดิ่งหลักมากขึ้นนี้ ไม่ได้มีผลทำให้รูปทรงรีเปลี่ยนไปแนบสนิทกับยี่ออดีขึ้นกว่าเดิม

ตารางที่ 4.1 การเปรียบเทียบค่าความสูงซึ่งได้จากการทำระดับ และจากการประมวลผล ในกรณี
ปราศจากการกำหนดหมุดควบคุมทางดิ่งหลัก

| Station | Height (m.) | | Diff (m.) |
|---------|----------------|-----------------|-----------|
| | From Levelling | From Processing | |
| GPS3052 | 136.627 | 118.895 | -17.731 |
| GPS3076 | 164.143 | 143.808 | -20.335 |
| GPS3128 | 156.252 | 131.430 | -24.822 |
| GPS3137 | 162.536 | 137.336 | -25.200 |
| GPS3138 | 174.363 | 149.321 | -25.042 |
| GPS3143 | 174.179 | 148.883 | -25.296 |
| GPS3153 | 141.706 | 118.006 | -23.701 |
| GPS3038 | 183.043 | 161.811 | -21.232 |
| GPS3054 | 155.848 | 140.251 | -15.597 |
| GPS3060 | 128.997 | 113.756 | -15.240 |
| GPS3069 | 173.477 | 155.327 | -18.150 |
| GPS3070 | 150.405 | 130.704 | -19.701 |
| GPS3071 | 153.014 | 132.976 | -20.038 |
| GPS3086 | 166.928 | 143.832 | -23.096 |
| GPS3088 | 172.699 | 148.559 | -24.139 |
| GPS3091 | 175.459 | 150.715 | -24.744 |
| GPS3093 | 169.417 | 143.956 | -25.460 |
| GPS3157 | 202.168 | 176.439 | -25.729 |
| GPS3158 | 176.954 | 151.392 | -25.563 |
| Min. | | | -25.729 |
| Max. | | | -15.240 |
| Mean | | | -22.148 |
| S.D. | | | 3.535 |

ตารางที่ 4.2 การเปรียบเทียบค่าความสูงซึ่งได้จากการทำระดับ และจากการประมวลผล เมื่อ กำหนดให้มีหมุดควบคุมทางดิ่งหลักหนึ่งหมุด

| Station | Height (m.) | | Diff. (m.) | Control Status |
|---------|----------------|-----------------|------------|----------------|
| | From Levelling | From Processing | | |
| GPS3052 | 136.627 | 142.589 | 5.963 | |
| GPS3076 | 164.143 | 167.503 | 3.359 | |
| GPS3128 | 156.252 | 155.127 | -1.125 | |
| GPS3137 | 162.536 | 161.034 | -1.501 | |
| GPS3138 | 174.363 | 173.019 | -1.345 | |
| GPS3143 | 174.179 | 172.577 | -1.602 | |
| GPS3153 | 141.706 | 141.706 | - | Fixed |
| GPS3038 | 183.043 | 185.506 | 2.463 | |
| GPS3054 | 155.848 | 163.940 | 8.093 | |
| GPS3060 | 128.997 | 137.444 | 8.448 | |
| GPS3069 | 173.477 | 179.019 | 5.541 | |
| GPS3070 | 150.405 | 154.400 | 3.994 | |
| GPS3071 | 153.014 | 156.672 | 3.657 | |
| GPS3086 | 166.928 | 167.524 | 0.596 | |
| GPS3088 | 172.699 | 172.251 | -0.448 | |
| GPS3091 | 175.459 | 174.406 | -1.053 | |
| GPS3093 | 169.417 | 167.648 | -1.768 | |
| GPS3157 | 202.168 | 200.135 | -2.033 | |
| GPS3158 | 176.954 | 175.088 | -1.866 | |
| Min. | | | -2.033 | |
| Max. | | | 8.448 | |
| Mean | | | 1.632 | |
| S.D. | | | 3.615 | |

ตารางที่ 4.3 การเปรียบเทียบค่าความสูงซึ่งได้จากการทำระดับ และจากการประมวลผล เมื่อ กำหนดให้มีหมุดควบคุมทางดิ่งหลักสี่หมุด

| Station | Height (m.) | | Diff. (m.) | Control Status |
|---------|----------------|-----------------|------------|----------------|
| | From Levelling | From Processing | | |
| GPS3052 | 136.627 | 136.627 | - | Fixed |
| GPS3076 | 164.143 | 164.143 | - | Fixed |
| GPS3128 | 156.252 | 156.252 | - | Fixed |
| GPS3137 | 162.536 | 161.138 | -1.398 | |
| GPS3138 | 174.363 | 173.067 | -1.296 | |
| GPS3143 | 174.179 | 174.179 | - | Fixed |
| GPS3153 | 141.706 | 141.750 | 0.043 | |
| GPS3038 | 183.043 | 184.687 | 1.644 | |
| GPS3054 | 155.848 | 158.302 | 2.454 | |
| GPS3060 | 128.997 | 131.902 | 2.905 | |
| GPS3069 | 173.477 | 174.894 | 1.417 | |
| GPS3070 | 150.405 | 150.309 | -0.097 | |
| GPS3071 | 153.014 | 152.672 | -0.342 | |
| GPS3086 | 166.928 | 165.254 | -1.675 | |
| GPS3088 | 172.699 | 170.148 | -2.551 | |
| GPS3091 | 175.459 | 173.545 | -1.914 | |
| GPS3093 | 169.417 | 167.813 | -1.604 | |
| GPS3157 | 202.168 | 200.418 | -1.750 | |
| GPS3158 | 176.954 | 175.445 | -1.510 | |
| Min. | | | -2.551 | |
| Max. | | | 2.905 | |
| Mean | | | -0.378 | |
| S.D. | | | 1.725 | |

ตารางที่ 4.4 การเปรียบเทียบค่าความสูงซึ่งได้จากการทำระดับ และจากการประมวลผล เมื่อ กำหนดให้มีหมุดควบคุมทางดิ่งหลักห้าหมุด

| Station | Height (m.) | | Diff. (m.) | Control Status |
|---------|----------------|-----------------|------------|----------------|
| | From Levelling | From Processing | | |
| GPS3052 | 136.627 | 136.627 | - | Fixed |
| GPS3076 | 164.143 | 164.143 | - | Fixed |
| GPS3128 | 156.252 | 156.252 | - | Fixed |
| GPS3137 | 162.536 | 161.124 | -1.412 | |
| GPS3138 | 174.363 | 173.052 | -1.311 | |
| GPS3143 | 174.179 | 174.179 | - | Fixed |
| GPS3153 | 141.706 | 141.706 | - | Fixed |
| GPS3038 | 183.043 | 184.680 | 1.637 | |
| GPS3054 | 155.848 | 158.302 | 2.454 | |
| GPS3060 | 128.997 | 131.902 | 2.906 | |
| GPS3069 | 173.477 | 174.894 | 1.417 | |
| GPS3070 | 150.405 | 150.309 | -0.097 | |
| GPS3071 | 153.014 | 152.672 | -0.342 | |
| GPS3086 | 166.928 | 165.249 | -1.679 | |
| GPS3088 | 172.699 | 170.143 | -2.555 | |
| GPS3091 | 175.459 | 173.542 | -1.916 | |
| GPS3093 | 169.417 | 167.811 | -1.605 | |
| GPS3157 | 202.168 | 200.405 | -1.762 | |
| GPS3158 | 176.954 | 175.433 | -1.521 | |
| Min. | | | -2.555 | |
| Max. | | | 2.906 | |
| Mean | | | -0.413 | |
| S.D. | | | 1.789 | |

ตารางที่ 4.5 การเปรียบเทียบผลต่างระหว่างค่าความสูงซึ่งได้จากการทำระดับ และค่าความสูงซึ่งได้จากการประมวลผล ในกรณีของการเลือกใช้หมุดควบคุมทางดิ่งหลัก

| Station | H _{Levelling} (m.) | Height Diff. (m.) | | | |
|---------|--------------------------------|-------------------|--------|--------|--------|
| | | Free Adjust | Fix-1 | Fix-4 | Fix-5 |
| GPS3052 | 136.627 | -17.731 | 5.963 | - | - |
| GPS3076 | 164.143 | -20.335 | 3.359 | - | - |
| GPS3128 | 156.252 | -24.822 | -1.125 | - | - |
| GPS3137 | 162.536 | -25.200 | -1.501 | -1.398 | -1.412 |
| GPS3138 | 174.363 | -25.042 | -1.345 | -1.296 | -1.311 |
| GPS3143 | 174.179 | -25.296 | -1.602 | - | - |
| GPS3153 | 141.706 | -23.701 | - | 0.043 | - |
| GPS3038 | 183.043 | -21.232 | 2.463 | 1.644 | 1.637 |
| GPS3054 | 155.848 | -15.597 | 8.093 | 2.454 | 2.454 |
| GPS3060 | 128.997 | -15.240 | 8.448 | 2.905 | 2.906 |
| GPS3069 | 173.477 | -18.150 | 5.541 | 1.417 | 1.417 |
| GPS3070 | 150.405 | -19.701 | 3.994 | -0.097 | -0.097 |
| GPS3071 | 153.014 | -20.038 | 3.657 | -0.342 | -0.342 |
| GPS3086 | 166.928 | -23.096 | 0.596 | -1.675 | -1.679 |
| GPS3088 | 172.699 | -24.139 | -0.448 | -2.551 | -2.555 |
| GPS3091 | 175.459 | -24.744 | -1.053 | -1.914 | -1.916 |
| GPS3093 | 169.417 | -25.460 | -1.768 | -1.604 | -1.605 |
| GPS3157 | 202.168 | -25.729 | -2.033 | -1.750 | -1.762 |
| GPS3158 | 176.954 | -25.563 | -1.866 | -1.510 | -1.521 |
| Min. | | -25.729 | -2.033 | -2.551 | -2.555 |
| Max. | | -15.240 | 8.448 | 2.905 | 2.906 |
| Mean | | -22.148 | 1.632 | -0.378 | -0.413 |
| S.D. | | 3.535 | 3.615 | 1.725 | 1.789 |

ตารางที่ 4.5 เป็นการสรุปเพื่อเปรียบเทียบผลต่างระหว่างค่าความสูงซึ่งได้จากการทำระดับและจากการประมวลผล ในกรณีของการเลือกใช้หมุดควบคุมทางดิ่งหลัก จะพบว่าค่าความสูงที่ได้จากการประมวลผล โดยปราศจากการใช้หมุดควบคุมทางดิ่งหลัก ซึ่งก็คือค่าความสูงเหนือรูปทรงรี จะมีค่าแตกต่างกับค่าความสูงที่ได้จากการทำระดับ โดยเฉลี่ยประมาณ 22 เมตร ค่าผลต่างดังกล่าวนี้ อาจเรียกอีกอย่างหนึ่งว่า ค่าความสูงย้อย ซึ่งคำนวณได้โดยตรง จากความสัมพันธ์ของค่าความสูงดิ่งสมการ $N = h - H$

ในการกำหนดค่าความสูงของหมุดควบคุมทางดิ่งหลักให้คงที่ เปรียบเสมือนเป็นการให้พื้นผิวของรูปทรงรี WGS84 และพื้นผิวย้อย แบนสนิทกัน ณ จุดนั้น ดังตารางที่ 4.2 ถึง 4.4 แสดงให้เห็นถึงการเลือกใช้หมุดควบคุมทางดิ่งหลักในการประมวลผล จะพบว่า การกำหนดค่าความสูงของหมุดควบคุมทางดิ่งหลักให้คงที่ เป็นจำนวน 4 หมุด จะให้ผลที่ดีที่สุด (Optimum) ดังนั้นในการประมวลผลเพื่อปรับแก้โครงข่ายในพื้นที่ที่ทำการวิจัยนี้ จึงควรใช้หมุดควบคุมทางดิ่งหลักอย่างเพียงพอและเหมาะสม ดังในข้อ 4.1.2.2

4.2 การวิเคราะห์ผลของการประยุกต์ใช้แบบจำลองความสูงย้อย

ผลของการประยุกต์ใช้แบบจำลองความสูงย้อย ในการปรับแก้โครงข่าย เพื่อหาค่าความสูงออร์โทเมตริก สามารถแบ่งการวิเคราะห์ได้ดังนี้

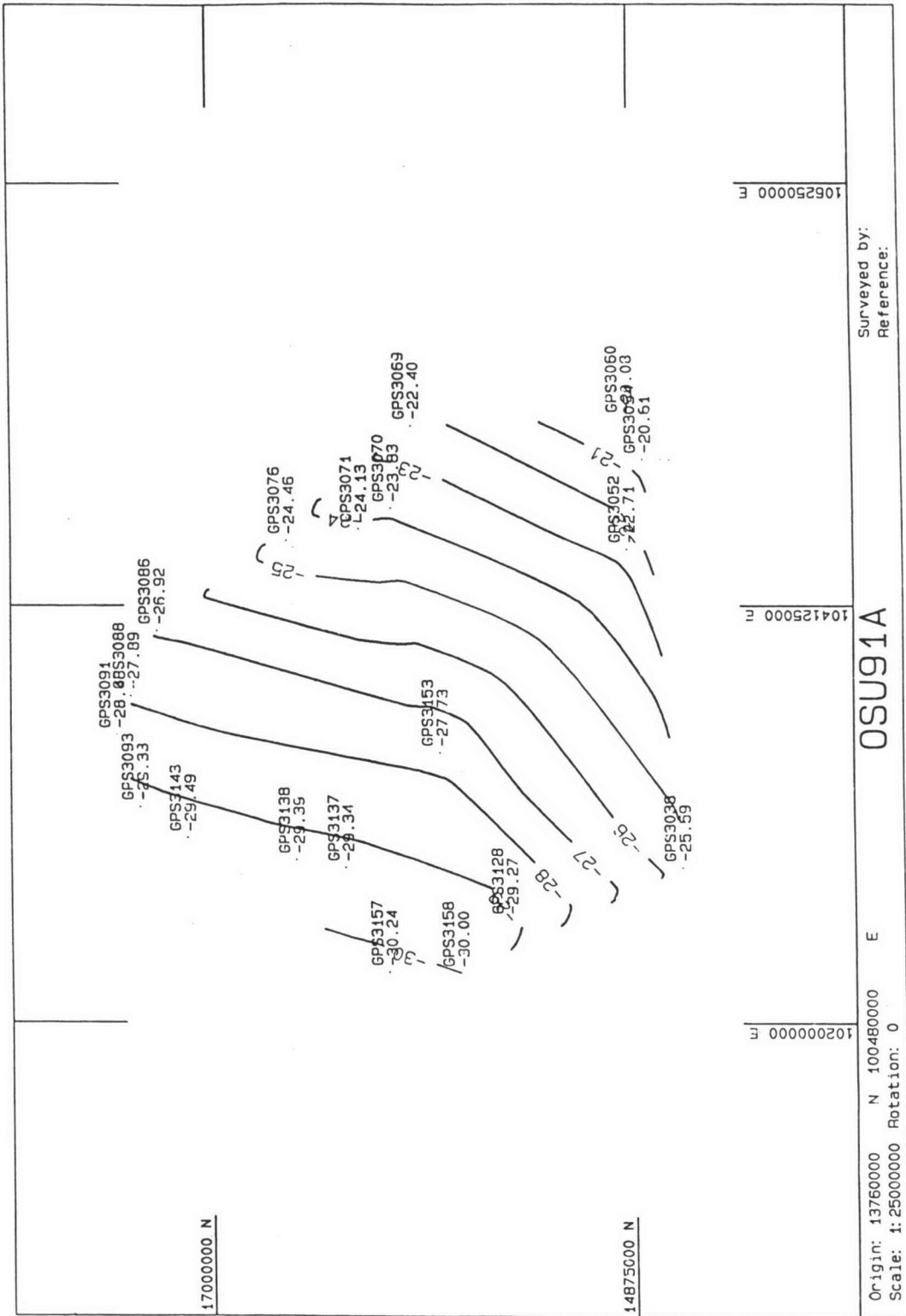
4.2.1 การเปรียบเทียบค่าความสูงย้อย

ค่าความสูงย้อย ซึ่งได้จากการประยุกต์ใช้แฟ้มข้อมูลความสูงย้อยในรูปแบบของ GeoLab (.GEO) ได้แสดงไว้ในตารางที่ 4.6 ซึ่งเป็นการเปรียบเทียบค่าความสูงย้อยของหมุดหลักฐานการระดับ โดยการประยุกต์ใช้แบบจำลองความสูงย้อย 3 แบบ ได้แก่ แบบแรกคือ แบบจำลองความสูงย้อย OSU91A เป็นแบบจำลองภูมิศักราชของพิภพ ด้วยค่าสัมประสิทธิ์ที่มีระดับชั้นสูงถึง 360 จัดทำโดยมหาวิทยาลัยแห่งรัฐโอไฮโอ แบบที่สองคือ แบบจำลองความสูงย้อยของพื้นหลักฐานอินเดีย 2518 (หรือ RTSD) เป็นแบบจำลองซึ่งสร้างขึ้นจากการใช้สมการแสดงความสัมพันธ์ของค่าความสูง (สมการที่ 2.1) แล้วทำการประมาณค่าในช่วงเพื่อสร้างเส้นชั้นความสูงย้อย จัดทำโดยกรมแผนที่ทหาร ประเทศไทย และแบบสุดท้ายคือ แบบจำลองความสูงย้อย EGM96 ซึ่งเป็นแบบจำลองภูมิศักราชของพิภพ ด้วยค่าสัมประสิทธิ์ที่มีระดับชั้นสูงถึง 360 จัดทำโดยโครงการความร่วมมือระหว่าง NIMA องค์การนาซา และมหาวิทยาลัยแห่งรัฐโอไฮโอ

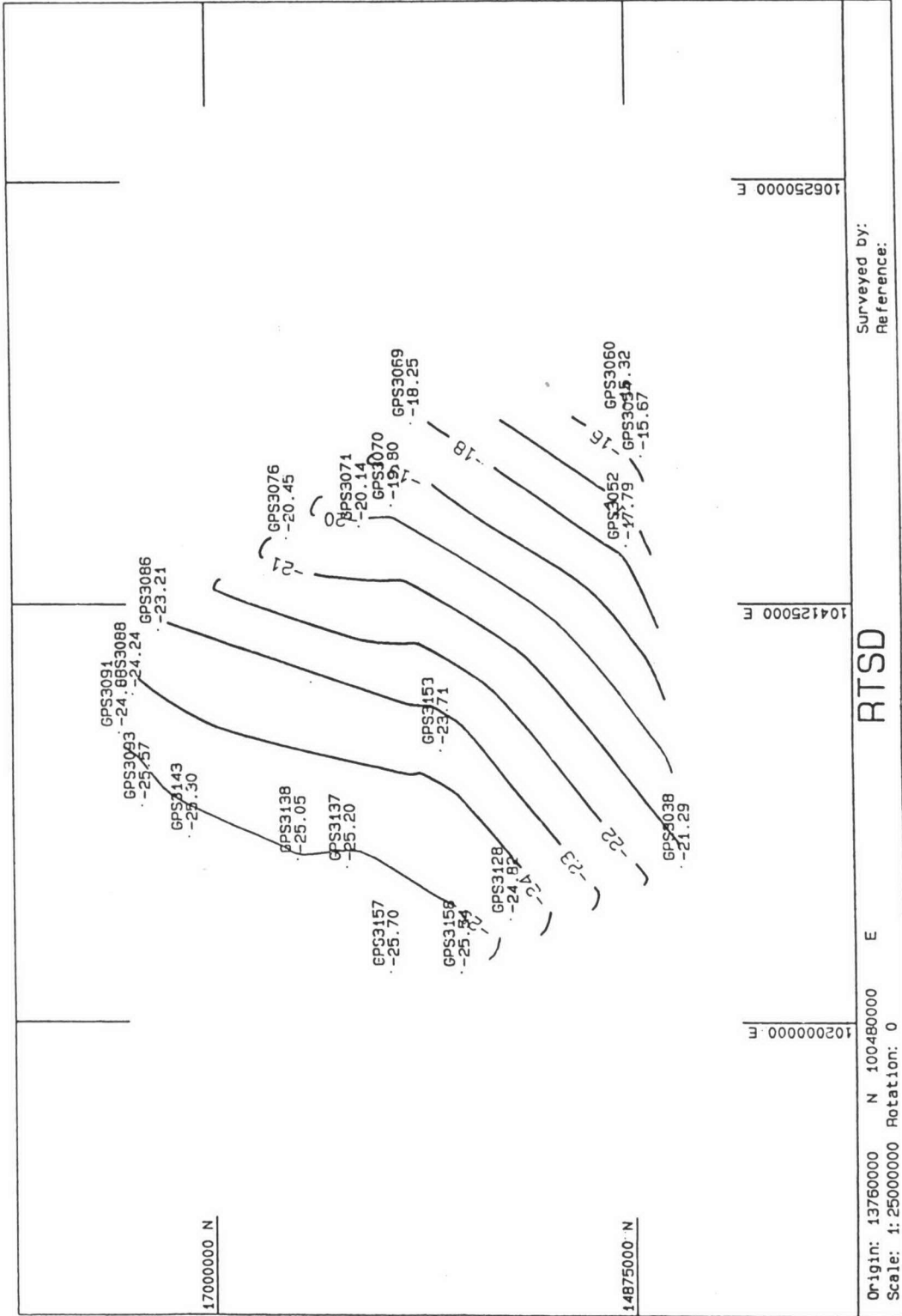
ในการเปรียบเทียบค่าความสูงย้อยของหมุดหลักฐานการระดับ โดยการประยุกต์ใช้แบบจำลองทั้งสามแบบดังกล่าว พบว่าค่าความสูงย้อยมีค่าสูงสุดที่หมุด GPS3060 และค่าต่ำสุด จะเกิดขึ้นที่หมุด GPS3157 พิจารณาภาพที่ 4.1 ถึง 4.3 จะแสดงให้เห็นถึงเส้นชั้นความสูงย้อยของแบบจำลองความสูงย้อยทั้งสามแบบ ตามลำดับ

ตารางที่ 4.6 การเปรียบเทียบค่าความสูงย้อยของหมุดหลักฐานการระดับ โดยการประยุกต์ใช้แบบจำลองความสูงย้อย

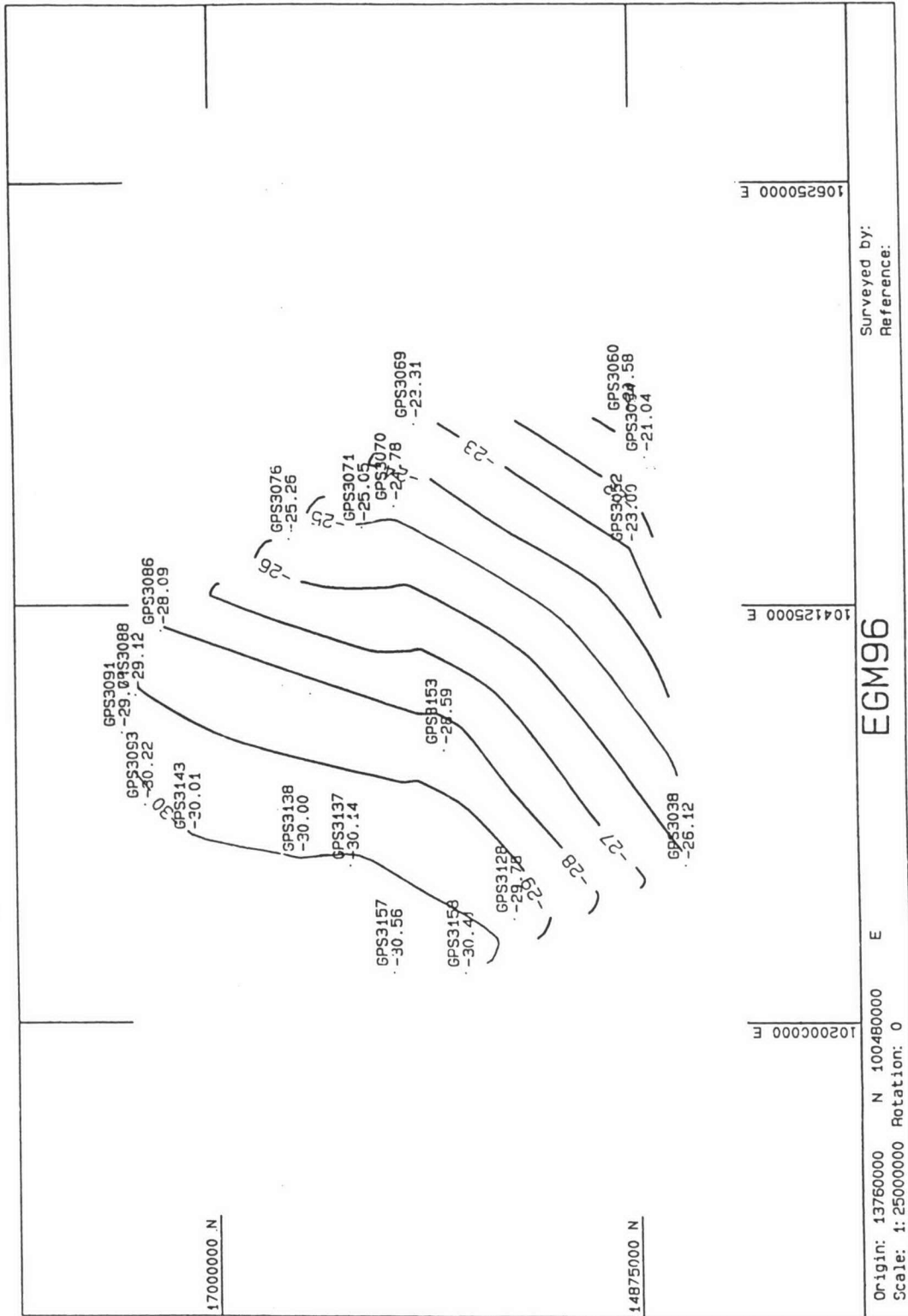
| Station | Latitude (N) | | | Longitude (E) | | | Geoid Undulation (m.) | | |
|---------|--------------|----|--------|---------------|----|--------|-----------------------|---------|---------|
| | ° | ' | " | ° | ' | " | OSU91A | RTSD | EGM96 |
| GPS3052 | 14 | 54 | 04.076 | 104 | 24 | 57.343 | -22.708 | -17.789 | -22.998 |
| GPS3076 | 16 | 36 | 59.621 | 104 | 27 | 29.796 | -24.457 | -20.452 | -25.262 |
| GPS3128 | 15 | 30 | 02.611 | 102 | 31 | 40.884 | -29.275 | -24.819 | -29.778 |
| GPS3137 | 16 | 19 | 21.072 | 102 | 47 | 42.949 | -29.344 | -25.200 | -30.139 |
| GPS3138 | 16 | 34 | 23.030 | 102 | 50 | 02.260 | -29.392 | -25.055 | -29.998 |
| GPS3143 | 17 | 07 | 18.552 | 102 | 56 | 53.202 | -29.495 | -25.303 | -30.008 |
| GPS3153 | 15 | 50 | 45.148 | 103 | 22 | 50.748 | -27.731 | -23.706 | -28.585 |
| GPS3038 | 14 | 38 | 01.928 | 102 | 47 | 45.261 | -25.592 | -21.291 | -26.121 |
| GPS3054 | 14 | 49 | 6.534 | 104 | 51 | 54.758 | -20.614 | -15.670 | -21.036 |
| GPS3060 | 14 | 54 | 24.285 | 105 | 04 | 08.596 | -20.085 | -15.317 | -20.578 |
| GPS3069 | 15 | 58 | 46.202 | 105 | 02 | 03.534 | -22.401 | -18.246 | -23.313 |
| GPS3070 | 16 | 05 | 12.131 | 104 | 37 | 18.905 | -23.828 | -19.795 | -24.783 |
| GPS3071 | 16 | 14 | 56.280 | 104 | 31 | 04.698 | -24.134 | -20.136 | -25.054 |
| GPS3086 | 17 | 16 | 18.942 | 103 | 59 | 48.308 | -26.915 | -23.211 | -28.093 |
| GPS3088 | 17 | 24 | 08.587 | 103 | 39 | 59.735 | -27.890 | -24.244 | -29.117 |
| GPS3091 | 17 | 28 | 21.698 | 103 | 28 | 12.131 | -28.481 | -24.861 | -29.742 |
| GPS3093 | 17 | 21 | 31.565 | 103 | 06 | 17.670 | -29.326 | -25.573 | -30.221 |
| GPS3157 | 16 | 06 | 32.167 | 102 | 15 | 29.423 | -30.238 | -25.698 | -30.560 |
| GPS3158 | 15 | 45 | 01.618 | 102 | 15 | 19.164 | -29.997 | -25.538 | -30.407 |



ภาพที่ 4.1 เส้นชั้นความสูงย่อยของแบบจำลองความสูงย่อย OSU91A



ภาพที่ 4.2 เส้นชั้นความสูงย่อยของแบบจำลองความสูงย่อย RTSD



ภาพที่ 4.3 เส้นชั้นความสูงที่ย่อยของแบบจำลองความสูงที่ย่อย EGM96

4.2.2 การเปรียบเทียบค่าความสูงออร์โทเมตริก

ค่าความสูงออร์โทเมตริก เป็นผลจากการประมวลผลโครงข่าย (GPS-derived orthometric height) โดยการประยุกต์ใช้แบบจำลองความสูงย็อย ซึ่งอ้างอิงกับพื้นหลักฐานพิภพ WGS84 ดังได้กล่าวไว้ในข้อ 4.2.1 ร่วมกับการกำหนดค่าระดับของหมุดควบคุมทางดิ่งหลักให้มีค่าคงที่จำนวน 4 หมุด ดังในข้อ 4.1.2.2 แล้วนำมาเปรียบเทียบกับค่าความสูงออร์โทเมตริกซึ่งได้จากการทำระดับ แบ่งการพิจารณาออกได้ดังนี้

4.2.2.1 ผลจากการประยุกต์ใช้แบบจำลองความสูงย็อย OSU91A ร่วมกับการกำหนดค่าระดับของหมุดควบคุมทางดิ่งหลัก ให้มีค่าคงที่จำนวนสี่หมุด

ผลลัพธ์จากการประมวลผล ดังแสดงในตารางที่ 4.7 คือค่าความสูงออร์โทเมตริก เมื่อเปรียบเทียบกับค่าความสูงซึ่งได้จากการทำระดับ จะพบว่าผลต่างของค่าความสูง มีค่าโดยเฉลี่ย -0.178 เมตร และมีค่าส่วนเบี่ยงเบนมาตรฐานเท่ากับ 0.204 เมตร

4.2.2.2 ผลจากการประยุกต์ใช้แบบจำลองความสูงย็อย RTSD ร่วมกับการกำหนดค่าระดับของหมุดควบคุมทางดิ่งหลัก ให้มีค่าคงที่จำนวนสี่หมุด

ค่าความสูงออร์โทเมตริกซึ่งเป็นผลลัพธ์จากการประมวลผล ดังแสดงในตารางที่ 4.8 เมื่อเปรียบเทียบกับค่าความสูงซึ่งได้จากการทำระดับ จะพบว่าผลต่างของค่าความสูง มีค่าโดยเฉลี่ย 0.005 เมตร และมีค่าส่วนเบี่ยงเบนมาตรฐานเท่ากับ 0.034 เมตร

4.2.2.3 ผลจากการประยุกต์ใช้แบบจำลองความสูงย็อย EGM96 ร่วมกับการกำหนดค่าระดับของหมุดควบคุมทางดิ่งหลัก ให้มีค่าคงที่จำนวนสี่หมุด

ค่าความสูงออร์โทเมตริกซึ่งได้จากการประมวลผล ดังแสดงในตารางที่ 4.9 เมื่อนำมาเปรียบเทียบกับค่าความสูงซึ่งได้จากการทำระดับ จะพบว่าผลต่างของค่าความสูง มีค่าเฉลี่ยเท่ากับ 0.030 เมตร และมีค่าส่วนเบี่ยงเบนมาตรฐานเท่ากับ 0.103 เมตร

ตารางที่ 4.7 การเปรียบเทียบค่าความสูงออร์โทเมตริกซึ่งได้จากการทำระดับ และจากการประยุกต์ใช้แบบจำลองความสูงย็อย OSU91A ร่วมกับการกำหนดค่าระดับของหมุดควบคุมทางดิ่งหลักทั้งหมด

| Station | Orthometric Height, H (m.) | | Diff. (m.) | Control Status |
|---------|----------------------------|-----------------|------------|----------------|
| | From Levelling | From Processing | | |
| GPS3052 | 136.627 | 136.627 | - | Fixed |
| GPS3076 | 164.143 | 164.143 | - | Fixed |
| GPS3128 | 156.252 | 156.252 | - | Fixed |
| GPS3137 | 162.536 | 162.311 | -0.225 | |
| GPS3138 | 174.363 | 174.352 | -0.011 | |
| GPS3143 | 174.179 | 174.179 | - | Fixed |
| GPS3153 | 141.706 | 141.334 | -0.372 | |
| GPS3038 | 183.043 | 182.894 | -0.149 | |
| GPS3054 | 155.848 | 156.006 | 0.159 | |
| GPS3060 | 128.997 | 129.014 | 0.018 | |
| GPS3069 | 173.477 | 173.355 | -0.122 | |
| GPS3070 | 150.405 | 150.170 | -0.236 | |
| GPS3071 | 153.014 | 152.777 | -0.237 | |
| GPS3086 | 166.928 | 166.545 | -0.383 | |
| GPS3088 | 172.699 | 172.247 | -0.452 | |
| GPS3091 | 175.459 | 174.995 | -0.464 | |
| GPS3093 | 169.417 | 169.081 | -0.336 | |
| GPS3157 | 202.168 | 202.281 | 0.113 | |
| GPS3158 | 176.954 | 176.987 | 0.033 | |
| Min. | | | -0.464 | |
| Max. | | | 0.159 | |
| Mean | | | -0.178 | |
| S.D. | | | 0.204 | |

ตารางที่ 4.8 การเปรียบเทียบค่าความสูงออร์โทเมตริกซึ่งได้จากการทำระดับ และจากการประยุกต์ใช้แบบจำลองความสูงย้อย RTSD ร่วมกับการกำหนดค่าระดับของหมุดควบคุมทางดิ่งหลักทั้งหมด

| Station | Orthometric Height, H (m.) | | Diff. (m.) | Control Status |
|---------|----------------------------|-----------------|------------|----------------|
| | From Levelling | From Processing | | |
| GPS3052 | 136.627 | 136.627 | - | Fixed |
| GPS3076 | 164.143 | 164.143 | - | Fixed |
| GPS3128 | 156.252 | 156.252 | - | Fixed |
| GPS3137 | 162.536 | 162.512 | -0.023 | |
| GPS3138 | 174.363 | 174.351 | -0.013 | |
| GPS3143 | 174.179 | 174.179 | - | Fixed |
| GPS3153 | 141.706 | 141.690 | -0.016 | |
| GPS3038 | 183.043 | 183.078 | -0.035 | |
| GPS3054 | 155.848 | 155.854 | 0.006 | |
| GPS3060 | 128.997 | 129.005 | 0.008 | |
| GPS3069 | 173.477 | 173.474 | -0.003 | |
| GPS3070 | 150.405 | 150.399 | -0.006 | |
| GPS3071 | 153.014 | 153.010 | -0.005 | |
| GPS3086 | 166.928 | 166.956 | 0.028 | |
| GPS3088 | 172.699 | 172.720 | 0.021 | |
| GPS3091 | 175.459 | 175.518 | 0.059 | |
| GPS3093 | 169.417 | 169.492 | 0.076 | |
| GPS3157 | 202.168 | 202.119 | -0.049 | |
| GPS3158 | 176.954 | 176.914 | -0.040 | |
| Min. | | | -0.049 | |
| Max. | | | 0.076 | |
| Mean | | | 0.005 | |
| S.D. | | | 0.034 | |

ตารางที่ 4.9 การเปรียบเทียบค่าความสูงออร์โธเมตริกซึ่งได้จากการทำระดับ และ จากการประยุกต์ใช้แบบจำลองความสูงย็อย EGM96 ร่วมกับการกำหนดค่าระดับของหมุดควบคุมทางดิ่งหลักทั้งหมด

| Station | Orthometric Height, H (m.) | | Diff. (m.) | Control Status |
|---------|----------------------------|-----------------|------------|----------------|
| | From Levelling | From Processing | | |
| GPS3052 | 136.627 | 136.627 | - | Fixed |
| GPS3076 | 164.143 | 164.143 | - | Fixed |
| GPS3128 | 156.252 | 156.252 | - | Fixed |
| GPS3137 | 162.536 | 162.547 | 0.011 | |
| GPS3138 | 174.363 | 174.396 | 0.033 | |
| GPS3143 | 174.179 | 174.179 | - | Fixed |
| GPS3153 | 141.706 | 141.637 | -0.069 | |
| GPS3038 | 183.043 | 182.924 | -0.119 | |
| GPS3054 | 155.848 | 156.067 | 0.219 | |
| GPS3060 | 128.997 | 129.127 | 0.130 | |
| GPS3069 | 173.477 | 173.614 | 0.137 | |
| GPS3070 | 150.405 | 150.465 | 0.060 | |
| GPS3071 | 153.014 | 153.020 | 0.006 | |
| GPS3086 | 166.928 | 167.000 | 0.072 | |
| GPS3088 | 172.699 | 172.760 | 0.061 | |
| GPS3091 | 175.459 | 175.609 | 0.150 | |
| GPS3093 | 169.417 | 169.386 | -0.031 | |
| GPS3157 | 202.168 | 202.057 | -0.111 | |
| GPS3158 | 176.954 | 176.856 | -0.098 | |
| Min. | | | -0.111 | |
| Max. | | | 0.219 | |
| Mean | | | 0.030 | |
| S.D. | | | 0.103 | |

จากตารางแสดงการเปรียบเทียบค่าความสูงออร์โทเมตริกดังกล่าวข้างต้น สามารถสรุปผลต่างของค่าความสูงออร์โทเมตริก ได้ดังแสดงในตารางที่ 4.10

ตารางที่ 4.10 การเปรียบเทียบผลต่างของค่าความสูงออร์โทเมตริก ในกรณีประยุกต์ใช้แบบจำลองความสูงย่อย

| Station | H _{levelling} (m.) | Orthometric Height Diff., H _{GPS} - H _{levelling} (m.) | | |
|---------|--------------------------------|--------------------------------------------------------------------------|-------------------------|--------------------------|
| | | Fix-4 and Apply OSU91A | Fix-4 and Apply RTSD | Fix-4 and Apply EGM96 |
| GPS3052 | 136.627 | - | - | - |
| GPS3076 | 164.143 | - | - | - |
| GPS3128 | 156.252 | - | - | - |
| GPS3137 | 162.536 | -0.225 | -0.023 | 0.011 |
| GPS3138 | 174.363 | -0.011 | -0.013 | 0.033 |
| GPS3143 | 174.179 | - | - | - |
| GPS3153 | 141.706 | -0.372 | -0.016 | -0.069 |
| GPS3038 | 183.043 | -0.149 | -0.035 | -0.119 |
| GPS3054 | 155.848 | 0.159 | 0.006 | 0.219 |
| GPS3060 | 128.997 | 0.018 | 0.008 | 0.130 |
| GPS3069 | 173.477 | -0.122 | -0.003 | 0.137 |
| GPS3070 | 150.405 | -0.236 | -0.006 | 0.060 |
| GPS3071 | 153.014 | -0.237 | -0.005 | 0.006 |
| GPS3086 | 166.928 | -0.383 | 0.028 | 0.072 |
| GPS3088 | 172.699 | -0.452 | 0.021 | 0.061 |
| GPS3091 | 175.459 | -0.464 | 0.059 | 0.150 |
| GPS3093 | 169.417 | -0.336 | 0.076 | -0.031 |
| GPS3157 | 202.168 | 0.113 | -0.049 | -0.111 |
| GPS3158 | 176.954 | 0.033 | -0.040 | -0.098 |
| Min. | | -0.464 | -0.049 | -0.111 |
| Max. | | 0.159 | 0.076 | 0.219 |
| Mean | | -0.178 | 0.005 | 0.030 |
| S.D. | | 0.204 | 0.034 | 0.103 |

4.3 การวิเคราะห์ผลของการประยุกต์ใช้แบบจำลองความสูงย้อยที่ได้พัฒนาขึ้นมาใหม่

ในการวิเคราะห์ และเปรียบเทียบผลของการประยุกต์ใช้แบบจำลองความสูงย้อยที่ได้พัฒนาขึ้นมาใหม่ (Improved model) ในการประมวลผลเพื่อหาค่าความสูงออร์โทเมตริก แบ่งออกได้ดังนี้

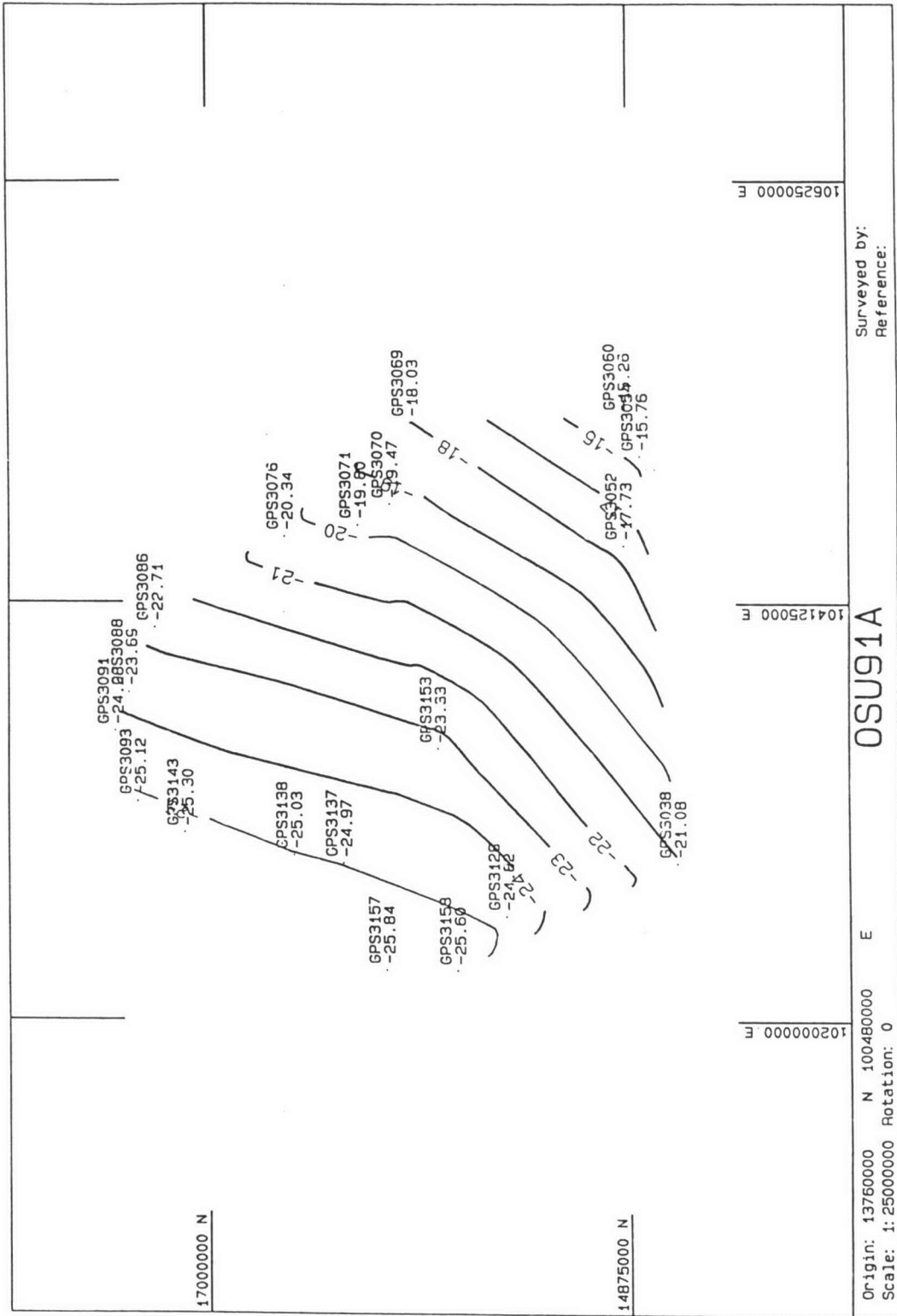
4.3.1 การเปรียบเทียบค่าความสูงย้อย

แบบจำลองความสูงย้อยที่ได้พัฒนาขึ้นมาใหม่นี้ ได้จากการนำผลของการประยุกต์ใช้แบบจำลองความสูงย้อย OSU91A RTSD และ EGM96 ร่วมกับการกำหนดค่าระดับของหมุดควบคุมทางดิ่งหลักให้คงที่ จำนวน 4 หมุด (แสดงด้วยตารางที่ 4.7 4.8 และ 4.9 ตามลำดับ) เพื่อหาค่าความสูงย้อยค่าใหม่ หลังจากนั้นทำการสร้าง (Generate) เพิ่มข้อมูลความสูงย้อยในรูปแบบกริดขึ้นมาใหม่ ด้วยความละเอียดของแบบจำลอง 0.10×0.10 องศา ในการเปรียบเทียบค่าความสูงย้อยของแบบจำลองที่พัฒนาขึ้นมาใหม่ จะแบ่งการพิจารณาออกเป็น 2 ส่วน คือ ส่วนแรก เป็นการเปรียบเทียบค่าความสูงย้อยของหมุดหลักฐานการระดับทั้ง 19 หมุด ดังแสดงในตารางที่ 4.11 และส่วนสุดท้าย เป็นการเปรียบเทียบค่าความสูงย้อยของกริด โดยยกตัวอย่างของขอบเขตซึ่งเริ่มจากละติจูดที่ 15° N ถึง 17° N และลองจิจูดที่ 103° E ถึง 104° E มีระยะห่างของกริด (Grid interval) เท่ากับ 6 ลิปดา แสดงได้ดังตารางที่ ค.1 ในภาคผนวก ค

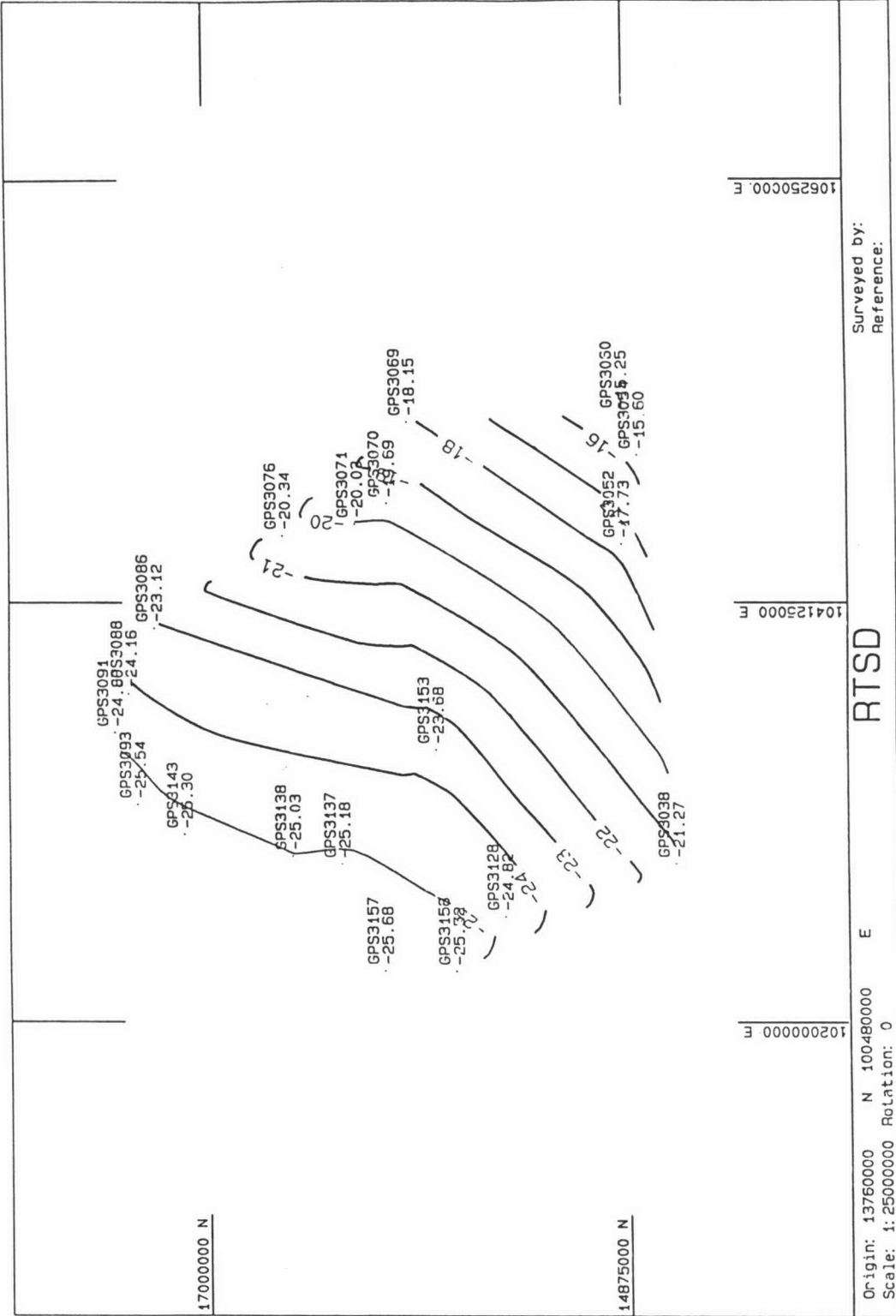
ในการเปรียบเทียบค่าความสูงย้อยของหมุดหลักฐานการระดับ โดยการประยุกต์ใช้แบบจำลองทั้งสามแบบดังกล่าว ดังแสดงในตารางที่ 4.11 พบว่าค่าความสูงย้อยมีค่าสูงสุดที่หมุด GPS3060 และค่าต่ำสุด จะเกิดขึ้นที่หมุด GPS3157 พิจารณาภาพที่ 4.4 ถึง 4.6 จะแสดงให้เห็นถึงเส้นชั้นความสูงย้อยของแบบจำลองความสูงย้อยที่ได้พัฒนาขึ้นมาใหม่ทั้งสามแบบตามลำดับ

ตารางที่ 4.11 การเปรียบเทียบค่าความสูงย้อยของหมุดหลักฐานการระดับ โดยการประยุกต์ใช้แบบจำลองความสูงย้อยที่ได้พัฒนาขึ้นใหม่

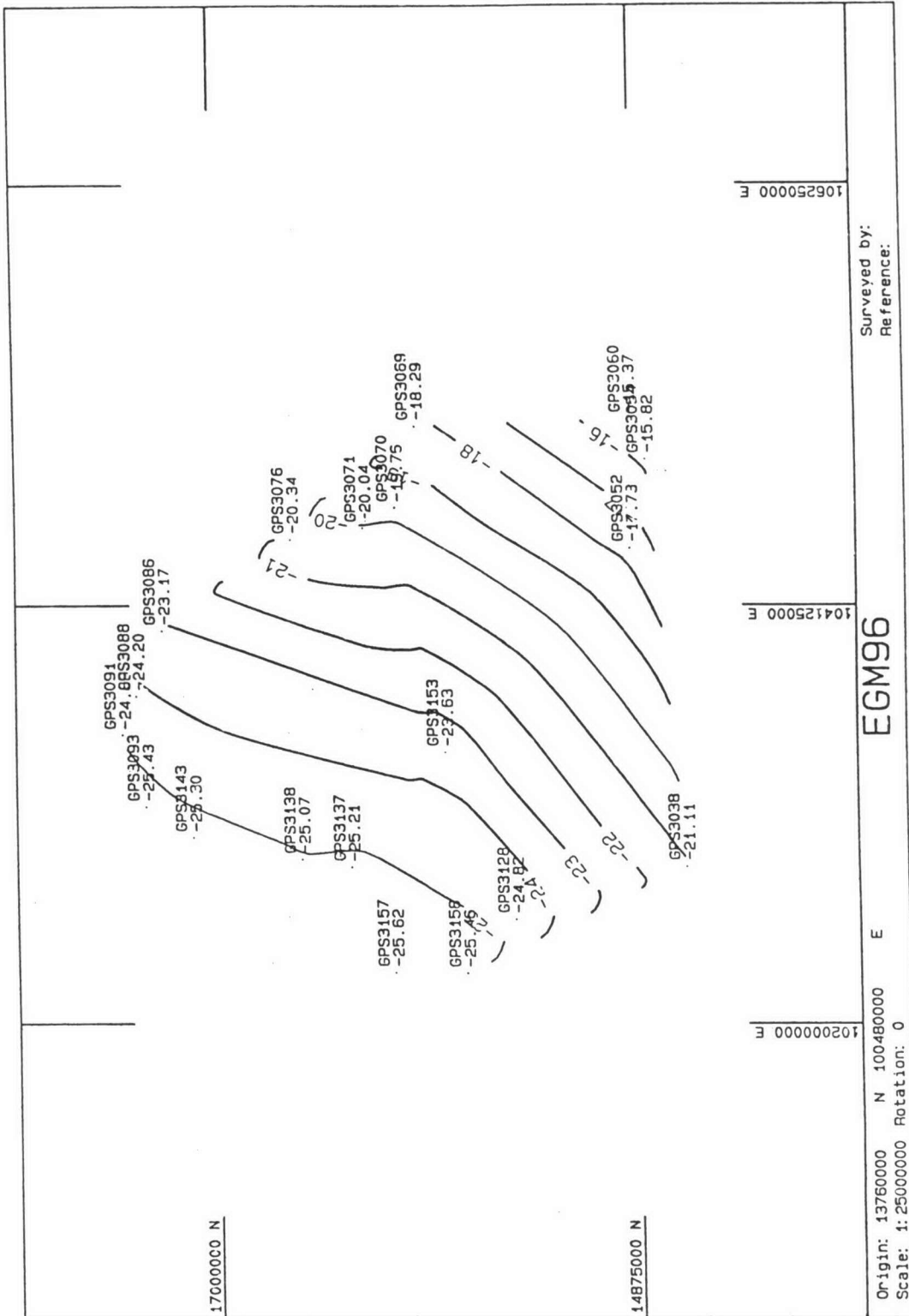
| Station | Latitude (N) | | | Longitude (E) | | | New Geoid Undulation (m.) | | |
|---------|--------------|----|--------|---------------|----|--------|---------------------------|---------|---------|
| | ° | ' | " | ° | ' | " | NOSU91A | NRTSD | NEGM96 |
| GPS3052 | 14 | 54 | 04.076 | 104 | 24 | 57.343 | -17.731 | -17.731 | -17.731 |
| GPS3076 | 16 | 36 | 59.621 | 104 | 27 | 29.796 | -20.335 | -20.335 | -20.335 |
| GPS3128 | 15 | 30 | 02.611 | 102 | 31 | 40.884 | -24.822 | -24.822 | -24.822 |
| GPS3137 | 16 | 19 | 21.072 | 102 | 47 | 42.949 | -24.975 | -25.176 | -25.211 |
| GPS3138 | 16 | 34 | 23.030 | 102 | 50 | 02.260 | -25.031 | -25.030 | -25.075 |
| GPS3143 | 17 | 07 | 18.552 | 102 | 56 | 53.202 | -25.296 | -25.296 | -25.296 |
| GPS3153 | 15 | 50 | 45.148 | 103 | 22 | 50.748 | -23.329 | -23.684 | -23.632 |
| GPS3038 | 14 | 38 | 01.928 | 102 | 47 | 45.261 | -21.083 | -21.267 | -21.112 |
| GPS3054 | 14 | 49 | 6.534 | 104 | 51 | 54.758 | -15.755 | -15.603 | -15.816 |
| GPS3060 | 14 | 54 | 24.285 | 105 | 04 | 08.596 | -15.258 | -15.248 | -15.371 |
| GPS3069 | 15 | 58 | 46.202 | 105 | 02 | 03.534 | -18.028 | -18.147 | -18.287 |
| GPS3070 | 16 | 05 | 12.131 | 104 | 37 | 18.905 | -19.465 | -19.695 | -19.761 |
| GPS3071 | 16 | 14 | 56.280 | 104 | 31 | 04.698 | -19.801 | -20.034 | -20.044 |
| GPS3086 | 17 | 16 | 18.942 | 103 | 59 | 48.308 | -22.713 | -23.124 | -23.168 |
| GPS3088 | 17 | 24 | 08.587 | 103 | 39 | 59.735 | -23.688 | -24.161 | -24.201 |
| GPS3091 | 17 | 28 | 21.698 | 103 | 28 | 12.131 | -24.280 | -24.803 | -24.894 |
| GPS3093 | 17 | 21 | 31.565 | 103 | 06 | 17.670 | -25.124 | -25.536 | -25.429 |
| GPS3157 | 16 | 06 | 32.167 | 102 | 15 | 29.423 | -25.842 | -25.680 | -25.619 |
| GPS3158 | 15 | 45 | 01.618 | 102 | 15 | 19.164 | -25.596 | -25.522 | -25.464 |



ภาพที่ 4.4 เส้นชั้นความสูงย่อยของแบบจำลองความสูงย่อย OSU91A ที่ได้พัฒนาขึ้นใหม่



ภาพที่ 4.5 เส้นชั้นความสูงย่อยของแบบจำลองความสูงย่อย RTSD ที่ได้พัฒนาขึ้นใหม่



ภาพที่ 4.6 เส้นชั้นความสูงย่อยของแบบจำลองความสูงย่อย EGM96 ที่ได้พัฒนาขึ้นใหม่

4.3.2 การเปรียบเทียบค่าความสูงออร์โทเมตริก

ภายหลังจากการประมวลผลโครงข่าย โดยการประยุกต์ใช้แบบจำลองความสูงย็อยที่ได้พัฒนาขึ้นมาใหม่ ซึ่งอ้างอิงกับพื้นหลักฐานพิภพ WGS84 ร่วมกับการกำหนดค่าระดับของหมุดควบคุมทางดิ่งหลักให้มีค่าคงที่เพียงหนึ่งหมุด ดังในข้อ 4.1.2.1 ผลของค่าความสูงที่ได้รับจะนำมาเปรียบเทียบกับค่าความสูงออร์โทเมตริกซึ่งได้จากการทำระดับ แบ่งการพิจารณาออกได้ดังนี้

4.3.2.1 ผลจากการประยุกต์ใช้แบบจำลองความสูงย็อย NOSU91A ร่วมกับการกำหนดค่าระดับของหมุดควบคุมทางดิ่งหลักให้คงที่หนึ่งหมุด ผลลัพธ์จากการประมวลผล ดังแสดงในตารางที่ 4.12 คือค่าความสูงออร์โทเมตริก เมื่อเปรียบเทียบกับค่าความสูงซึ่งได้จากการทำระดับ จะพบว่าผลต่างของค่าความสูง มีค่าโดยเฉลี่ย 0.245 เมตร และมีค่าส่วนเบี่ยงเบนมาตรฐานเท่ากับ 0.192 เมตร

4.3.2.2 ผลจากการประยุกต์ใช้แบบจำลองความสูงย็อย NRTSD ร่วมกับการกำหนดค่าระดับของหมุดควบคุมทางดิ่งหลักให้คงที่หนึ่งหมุด ค่าความสูงออร์โทเมตริกซึ่งเป็นผลลัพธ์จากการประมวลผล ดังแสดงในตารางที่ 4.13 เมื่อเปรียบเทียบกับค่าความสูงซึ่งได้จากการทำระดับ จะพบว่าผลต่างของค่าความสูง มีค่าโดยเฉลี่ย 0.021 เมตร และมีค่าส่วนเบี่ยงเบนมาตรฐานเท่ากับ 0.031 เมตร

4.3.2.3 ผลจากการประยุกต์ใช้แบบจำลองความสูงย็อย NEGM96 ร่วมกับการกำหนดค่าระดับของหมุดควบคุมทางดิ่งหลักให้คงที่หนึ่งหมุด ค่าความสูงออร์โทเมตริกซึ่งได้จากการประมวลผล ดังแสดงในตารางที่ 4.14 เมื่อนำมาเปรียบเทียบกับค่าความสูงซึ่งได้จากการทำระดับ จะพบว่าผลต่างของค่าความสูง มีค่าเฉลี่ยเท่ากับ 0.098 เมตร และมีค่าส่วนเบี่ยงเบนมาตรฐานเท่ากับ 0.091 เมตร

ตารางที่ 4.12 การเปรียบเทียบค่าความสูงออร์โทเมตริกซึ่งได้จากการทำระดับ และจากการประยุกต์ใช้แบบจำลองความสูงยี่ออยใหม่ของ OSU91A (หรือ NOSU91A) ร่วมกับการกำหนดค่าระดับของหมุดควบคุมทางดิ่งหลักหนึ่งหมุด

| Station | Orthometric Height, H (m.) | | Diff. (m.) | Control Status |
|---------|----------------------------|-----------------|------------|----------------|
| | From Levelling | From Processing | | |
| GPS3052 | 136.627 | 136.998 | 0.372 | |
| GPS3076 | 164.143 | 164.515 | 0.372 | |
| GPS3128 | 156.252 | 156.624 | 0.372 | |
| GPS3137 | 162.536 | 162.683 | 0.147 | |
| GPS3138 | 174.363 | 174.724 | 0.361 | |
| GPS3143 | 174.179 | 174.551 | 0.372 | |
| GPS3153 | 141.706 | 141.706 | - | Fixed |
| GPS3038 | 183.043 | 183.266 | 0.223 | |
| GPS3054 | 155.848 | 156.378 | 0.530 | |
| GPS3060 | 128.997 | 129.386 | 0.389 | |
| GPS3069 | 173.477 | 173.726 | 0.249 | |
| GPS3070 | 150.405 | 150.542 | 0.136 | |
| GPS3071 | 153.014 | 153.149 | 0.135 | |
| GPS3086 | 166.928 | 166.917 | -0.011 | |
| GPS3088 | 172.699 | 172.619 | -0.080 | |
| GPS3091 | 175.459 | 175.367 | -0.092 | |
| GPS3093 | 169.417 | 169.452 | 0.036 | |
| GPS3157 | 202.168 | 202.653 | 0.485 | |
| GPS3158 | 176.954 | 177.359 | 0.405 | |
| Min. | | | -0.092 | |
| Max. | | | 0.530 | |
| Mean | | | 0.245 | |
| S.D. | | | 0.192 | |

ตารางที่ 4.13 การเปรียบเทียบค่าความสูงออร์โธเมตริกซึ่งได้จากการทำระดับ และจากการประยุกต์ใช้แบบจำลองความสูงย้อยใหม่ของ RTSD (หรือ NRTSD) ร่วมกับ การกำหนดค่าระดับ ของหมุดควบคุมทางดิ่งหลักหนึ่งหมุด

| Station | Orthometric Height, H (m.) | | Diff. (m.) | Control Status |
|---------|----------------------------|-----------------|------------|----------------|
| | From Levelling | From Processing | | |
| GPS3052 | 136.627 | 136.643 | 0.016 | |
| GPS3076 | 164.143 | 164.159 | 0.016 | |
| GPS3128 | 156.252 | 156.268 | 0.016 | |
| GPS3137 | 162.536 | 162.528 | -0.007 | |
| GPS3138 | 174.363 | 174.367 | 0.004 | |
| GPS3143 | 174.179 | 174.195 | 0.016 | |
| GPS3153 | 141.706 | 141.706 | - | Fixed |
| GPS3038 | 183.043 | 183.095 | 0.052 | |
| GPS3054 | 155.848 | 155.870 | 0.023 | |
| GPS3060 | 128.997 | 129.021 | 0.024 | |
| GPS3069 | 173.477 | 173.490 | 0.013 | |
| GPS3070 | 150.405 | 150.415 | 0.010 | |
| GPS3071 | 153.014 | 153.026 | 0.012 | |
| GPS3086 | 166.928 | 166.972 | 0.044 | |
| GPS3088 | 172.699 | 172.736 | 0.037 | |
| GPS3091 | 175.459 | 175.534 | 0.075 | |
| GPS3093 | 169.417 | 169.509 | 0.092 | |
| GPS3157 | 202.168 | 202.135 | -0.033 | |
| GPS3158 | 176.954 | 176.930 | -0.024 | |
| Min. | | | -0.033 | |
| Max. | | | 0.092 | |
| Mean | | | 0.021 | |
| S.D. | | | 0.031 | |

ตารางที่ 4.14 การเปรียบเทียบค่าความสูงออร์โทเมตริกซึ่งได้จากการทำระดับ และจากการประยุกต์ใช้แบบจำลองความสูงย็อยใหม่ของ EGM96 (หรือ NEGM96) ร่วมกับการกำหนดค่าระดับของหมุดควบคุมทางดิ่งหลักหนึ่งหมุด

| Station | Orthometric Height, H (m.) | | Diff. (m.) | Control Status | |
|---------|----------------------------|-----------------|------------|----------------|-------|
| | From Levelling | From Processing | | | |
| GPS3052 | 136.627 | 136.695 | 0.069 | | |
| GPS3076 | 164.143 | 164.212 | 0.069 | | |
| GPS3128 | 156.252 | 156.321 | 0.069 | | |
| GPS3137 | 162.536 | 162.616 | 0.080 | | |
| GPS3138 | 174.363 | 174.465 | 0.102 | | |
| GPS3143 | 174.179 | 174.248 | 0.069 | | |
| GPS3153 | 141.706 | 141.706 | - | | Fixed |
| GPS3038 | 183.043 | 182.993 | -0.050 | | |
| GPS3054 | 155.848 | 156.136 | 0.288 | | |
| GPS3060 | 128.997 | 129.196 | 0.199 | | |
| GPS3069 | 173.477 | 173.683 | 0.206 | | |
| GPS3070 | 150.405 | 150.534 | 0.129 | | |
| GPS3071 | 153.014 | 153.089 | 0.075 | | |
| GPS3086 | 166.928 | 167.069 | 0.141 | | |
| GPS3088 | 172.699 | 172.829 | 0.130 | | |
| GPS3091 | 175.459 | 175.678 | 0.219 | | |
| GPS3093 | 169.417 | 169.455 | 0.038 | | |
| GPS3157 | 202.168 | 202.126 | -0.042 | | |
| GPS3158 | 176.954 | 176.925 | -0.029 | | |
| Min. | | | -0.050 | | |
| Max. | | | 0.288 | | |
| Mean | | | 0.098 | | |
| S.D. | | | 0.091 | | |

จากตารางแสดงการเปรียบเทียบค่าความสูงออร์โทเมตริกดังกล่าวข้างต้น สามารถสรุปผลต่างของค่าความสูงออร์โทเมตริก ได้ดังแสดงในตารางที่ 4.15

ตารางที่ 4.15 การเปรียบเทียบผลต่างของค่าความสูงออร์โทเมตริก ในกรณีประยุกต์ใช้แบบจำลองความสูงย่อยที่ได้พัฒนาขึ้นใหม่

| Station | H _{Leveling} (m.) | Orthometric Height Diff., H _{GPS} - H _{leveling} (m.) | | |
|---------|-------------------------------|-------------------------------------------------------------------------|--------------------------|---------------------------|
| | | Fix-1 and Apply NOSU91A | Fix-1 and Apply NRTSD | Fix-1 and Apply NEGM96 |
| GPS3052 | 136.627 | 0.372 | 0.016 | 0.069 |
| GPS3076 | 164.143 | 0.372 | 0.016 | 0.069 |
| GPS3128 | 156.252 | 0.372 | 0.016 | 0.069 |
| GPS3137 | 162.536 | 0.147 | -0.007 | 0.080 |
| GPS3138 | 174.363 | 0.361 | 0.004 | 0.102 |
| GPS3143 | 174.179 | 0.372 | 0.016 | 0.069 |
| GPS3153 | 141.706 | - | - | - |
| GPS3038 | 183.043 | 0.223 | 0.052 | -0.050 |
| GPS3054 | 155.848 | 0.530 | 0.023 | 0.288 |
| GPS3060 | 128.997 | 0.389 | 0.024 | 0.199 |
| GPS3069 | 173.477 | 0.249 | 0.013 | 0.206 |
| GPS3070 | 150.405 | 0.136 | 0.010 | 0.129 |
| GPS3071 | 153.014 | 0.135 | 0.012 | 0.075 |
| GPS3086 | 166.928 | -0.011 | 0.044 | 0.141 |
| GPS3088 | 172.699 | -0.080 | 0.037 | 0.130 |
| GPS3091 | 175.459 | -0.092 | 0.075 | 0.219 |
| GPS3093 | 169.417 | 0.036 | 0.092 | 0.038 |
| GPS3157 | 202.168 | 0.485 | -0.033 | -0.042 |
| GPS3158 | 176.954 | 0.405 | -0.024 | -0.029 |
| Min. | | -0.092 | -0.033 | -0.050 |
| Max. | | 0.530 | 0.092 | 0.288 |
| Mean | | 0.245 | 0.021 | 0.098 |
| S.D. | | 0.192 | 0.031 | 0.091 |

4.4 การวิเคราะห์ความเหมาะสมของแบบจำลองความสูงย็อยย และค่าความสูงออร์โทเมตริก

การวิเคราะห์เพื่อหาความเหมาะสมของแบบจำลองความสูงย็อยย และค่าความสูงออร์โทเมตริก แสดงได้ดังตารางที่ 4.16

ตารางที่ 4.16 ค่าทางสถิติของผลต่างของค่าความสูงออร์โทเมตริก โดยการประยุกต์ใช้แบบจำลองความสูงย็อยยแบบต่าง ๆ ร่วมกับการกำหนดค่าระดับของหมุดควบคุมทางดิ่งหลัก (ในหน่วยเมตร)

| Model | Status | Min. | Max. | Mean | S.D. | RMS. |
|-------------------|----------|--------|-------|--------|-------|-------|
| OSU91A and Fix-4 | Original | -0.464 | 0.159 | -0.178 | 0.204 | 0.270 |
| RTSD and Fix-4 | Original | -0.049 | 0.076 | 0.005 | 0.034 | 0.035 |
| EGM96 and Fix-4 | Original | -0.111 | 0.219 | 0.030 | 0.103 | 0.107 |
| NOSU91A and Fix-1 | Improved | -0.092 | 0.530 | 0.245 | 0.192 | 0.311 |
| NRTSD and Fix-1 | Improved | -0.033 | 0.092 | 0.021 | 0.031 | 0.038 |
| NEGM96 and Fix-1 | Improved | -0.050 | 0.288 | 0.098 | 0.091 | 0.134 |

จากค่าทางสถิติของผลต่างของค่าความสูงออร์โทเมตริก ดังตารางที่ 4.16 อาจสรุปได้ดังนี้ คือ ค่าทางสถิติของผลต่างของค่าความสูงออร์โทเมตริก โดยการประยุกต์ใช้แบบจำลองความสูงย็อยยเดิม (Original model) พบว่า ค่าผลต่างจากการประยุกต์ใช้แบบจำลองความสูงย็อยยของพื้นที่หลักฐานอินเดียน 2518 (หรือ RTSD) มีค่าทางสถิติที่ดีที่สุด แต่เนื่องจากแบบจำลองความสูงย็อยยดังกล่าวได้พัฒนามาจากข้อมูลชุดเดียวกันกับงานวิจัยนี้ ผลที่ได้จึงไม่แตกต่างกันมากนัก ดังนั้น แบบจำลองความสูงย็อยย RTSD จึงไม่พิจารณาในการนำไปใช้ นอกจากนี้ในการวิเคราะห์ค่าทางสถิติของผลต่างของค่าความสูงออร์โทเมตริก โดยการประยุกต์ใช้แบบจำลองความสูงย็อยยที่ได้รับการพัฒนาขึ้นมาใหม่อีก 3 แบบ คือ NOSU91A NRTSD และ NEGM96 พบว่าค่าทางสถิติโดยเฉพาะค่าเฉลี่ยและค่า RMS ไม่ได้ดีขึ้นเมื่อเปรียบเทียบกับค่าทางสถิติของแบบจำลองความสูงย็อยยเดิม

แบบจำลองความสูงย็อยยที่มีความเหมาะสมสำหรับพื้นที่ทำการวิจัย คือ แบบจำลอง EGM96 โดยประยุกต์ใช้ในการประมวลผลโครงข่าย ร่วมกับการกำหนดค่าระดับของหมุดควบคุมทางดิ่งหลักให้คงที่จำนวน 4 หมุด ด้วยค่าทางสถิติของผลต่างของค่าความสูงออร์โทเมตริก คือ ค่า

เฉลี่ย 0.030 เมตร ค่าส่วนเบี่ยงเบนมาตรฐาน 0.103 เมตร และ ค่า RMS 0.107 เมตร ซึ่งมีความคงเส้นคงวา (Consistency) ดีกว่าแบบจำลองความสูงย็อย OSU91A นอกจากนี้ยังแสดงให้เห็นถึงค่าความสูงออร์โทเมตริกซึ่งได้จากกรณีนี้ เพียงพอที่จะนำไปใช้ในเกณฑ์ของงานระดับที่ไม่ต้องการความถูกต้องสูง

4.5 การวิเคราะห์ผลกระทบของการเปลี่ยนแปลงความสูงย็อย

ด้วยผลของการเปรียบเทียบระหว่างค่าความสูงซึ่งได้จากการประมวลผลในงานรังวัดดาวเทียม และค่าความสูงจากการทำระดับ สามารถคำนวณหาค่าความสูงย็อยได้ ในการศึกษาการเปลี่ยนแปลงความสูงย็อยสำหรับงานวิจัยครั้งนี้ จะพบว่าค่าความสูงย็อยที่ได้จากการประมวลผลข้อมูลการรังวัดดาวเทียม โดยปราศจากหมุดควบคุมทางดิ่งหลัก ดังตารางที่ 4.1 และค่าความสูงย็อยจากการประยุกต์ใช้แบบจำลอง OSU91A RTSD หรือ EGM96 จะพบว่าความสูงย็อยมีการเปลี่ยนแปลงในลักษณะของความลาดชันเป็นไปในทิศทางเดียวกัน กล่าวคือ ลาดชันตามแนวทิศตะวันออกเฉียงใต้ไปตะวันตกเฉียงเหนือ จากผลซึ่งแสดงในตารางที่ 4.2 เมื่อมีหมุดควบคุมทางดิ่งหลักหนึ่งหมุด พบว่าความคลาดเคลื่อนในทางความสูง จะเกิดขึ้นมากในแนวทิศตะวันออกเฉียงใต้-ตะวันตกเฉียงเหนือ ดังนั้นจึงควรให้มีหมุดควบคุมทางดิ่งหลักกระจายตามแนวดังกล่าวอย่างเพียงพอ

การเปลี่ยนแปลงความสูงย็อย มีผลกระทบอย่างมากต่อการคำนวณหาค่าความสูงออร์โทเมตริก โดยการรังวัดด้วยระบบดาวเทียมจีพีเอส ทั้งนี้จำเป็นที่จะต้องมีการใช้แบบจำลองความสูงย็อย ร่วมกับหมุดควบคุมทางดิ่งหลัก ที่มีจำนวนเพียงพอและเหมาะสม เพื่อทอนค่าความสูงจากการรังวัดดาวเทียม ซึ่งอยู่เหนือรูปทรงรี ลงสู่ค่าความสูงเหนือย็อยได้ถูกต้องยิ่งขึ้น